

# 論 言 報 告

第21卷 第7號 昭和10年7月

## 耐 荷 試 驗 に 就 て

准 員 工 學 士 石 田 武 雄\*

On the Carrying Capacity of the Soil under Various Conditions

By Takeo Isida, C. E., Assoc. Member.

### 内 容 條 欄

從來地盤の沈下に対する載荷面の大きさに就ては、計算上にも、荷重試験の場合にも何等考慮に入れられてゐない。

又同じ単位荷重に対しては、面積の大きさに依らず同じ沈下が起るものと考へられてゐる。故に載荷試験は任意の大きさの鉢でなされ又沈下も夫を生じたと同じ荷重を採用する時には、大きな基礎面に對しても同じ事が起るものとされてゐる。本試験の目的は大きな面積と小さなものとの間に如何なる差異があるかを見んとするものである。

### 目 次

目 次	頁
1. 緒 言 .....	1
2. 試 駿 方 法 .....	2
(1) 試験溝, (2) 荷重機器, (3) 試験鉢及び操作, (4) 人員及び費用	
3. 試 駿 結 果 .....	5
(1) 沈下曲線式と沈下係数(Bettungs Ziffer), (2) 地盤の 4 態, (3) 破壊限界と比例限界, (4) 近似解説, (5) 正方形鉢角の影響, (6) 限界荷重沈下曲線, (7) 鉢周囲の變化	
4. 結 論 .....	15

### 1. 緒 言

地盤に壓力を加へると地盤は變形を始める。即ち壓力を加へた面は壓力の方向に移動して所謂沈下を始める。この沈下の大きさを決定するものは、地盤の組織及び性質である。

今地盤の組織性質が同一である時には、加へた壓力、受壓面の大きさ、壓力の速さ等に關係する。又同じ面積に於ても面型が異なる場合には沈下を異にし、壓縮の速さが大なる時は沈下が速い。又受壓面の位置にも關係するもので深い、即ち、鉢が表面下にある程沈下が多い。同じ深さにある鉢の沈下と壓力及び時間は互に相關的の關係にある。この 3 つの値は面積の大きさ、型、地質が一定ならば一つの定めた面を作る。即ち

$$p = f(\Delta, t)$$

ここで  $p$ : 荷重強度,  $\Delta$ : 沈下,  $t$ : 時間

の關係にある。

故に載荷試験に對しては次の 3 つの方法がある。

(1) 時間を一定にして壓力と沈下との關係を見る。

\* 鐵道局技手 名古屋鐵道局名古屋保線區勤務

(2) 壓力を一定にして時間と沈下との關係を見る。

(3) 沈下を一定にして壓力と時間との關係を見る。

以上 3 つの場合の内、目的に依つてその何れの方法を採用するかを決定する。目的が主に地盤の破壊強度を見る爲ならば (1) の方法でよい。又構造物基礎等の豫定沈下量を決定する場合には (2) の方法が採られる。(3) の方法は實驗室的興味のもので (1) と (2) の兩者より決定し得るものと考へられる。

時間と沈下の關係については連續的に荷重増加が行はれるならば、荷重と變形の曲線は荷重増加の速さ  $v$  に關係すると。即ち、 $v_1 > v_2 > v_3$  であると、一定の荷重に對して生ずる變形量は  $\lambda_1 < \lambda_2 < \lambda_3$  である。 $v_3$  のもとで無限に徐々に荷重を増加させるならば、曲線  $v_3$  は最大の變形を生ず。途中で荷重増加を中斷させると、變形は一定の荷重の場合には  $v_3$  まで進行する。新たに荷重を加へると再び  $v_1$  の曲線にもどる。

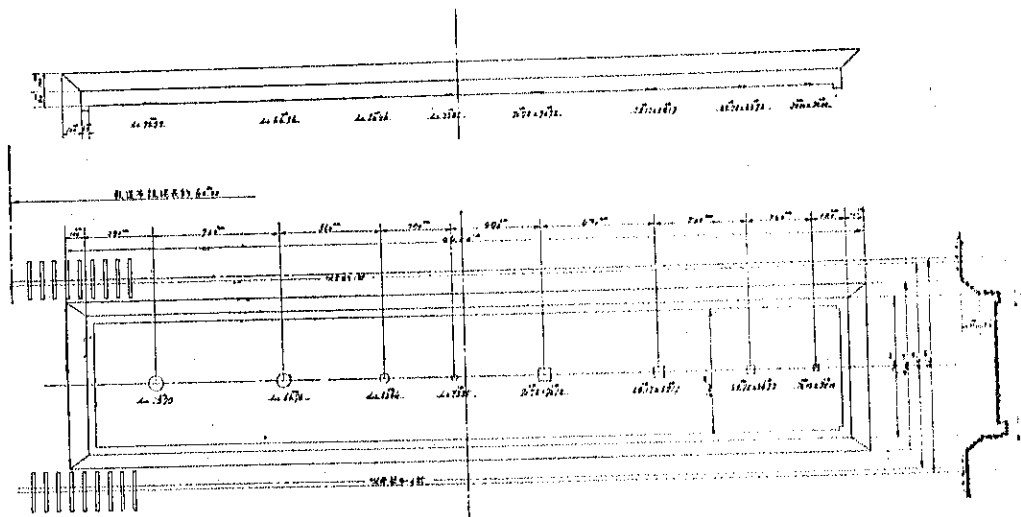
Terzaghi は粘土地盤上に造られた構造物に對して餘後沈下を發見して豫め計算の方法を與へてゐる。而し乍らこの餘後沈下はこの様な地盤に對して始めて意味のあるもので、其の他の場合にはあまり考慮しなくてもよい。普通の状態では、地盤は所謂プラスチックに、又粘性流體的に作用する。この爲に或荷重の範囲内ではある量の沈下をなした後に平衡状態になる。この沈下を完全に與へる爲には、或る長さの時間を置く必要がある。餘後沈下はプラスチックの流れを見る大體の目安になり、荷重を加へてゐる間の沈下は土の収縮と彈性變形の目安になる。

## 2. 試験方法

### (1) 試験構

本試験溝の長さ 42 m、幅 7 m である(第 1 圖)。飯を埋めて試験する場合は上部の土の影響を考へなくてよいから、溝を作る必要がない。

第 1 圖 地盤耐荷試験構概略圖

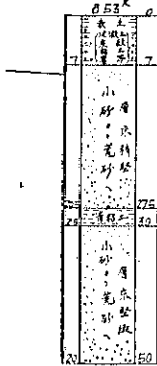


鐵道省土質調査委員會に依頼して得たる試験地盤の土質の試験結果を記せば次の様である。

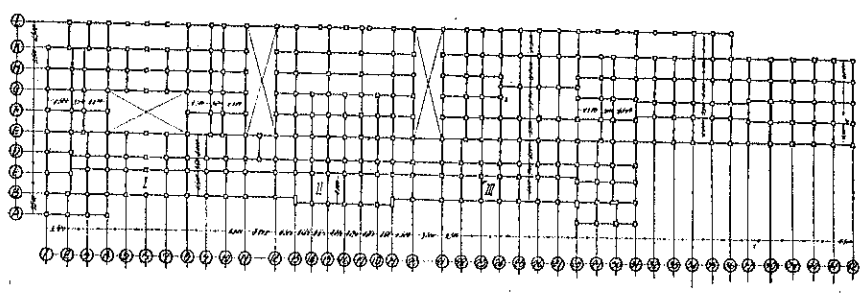
第 1 表より見るに、間隙が非常に多いことである。又摩擦角が著しく大きい。この兩者より次の判斷が下される。即ち砂質は均一であるが大粒である。又河砂であつて、角ばつてゐる。凝聚力が小さいのは砂の特性を表す。

第 1 表

名古屋驛木屋新築 地盤表而下 1.8 m	試験當時 の含水比	凝集力 (kg/cm <sup>2</sup> )	摩擦角 (度)	比 重		間隙比 %
				見掛	真	
	0.887	0.05	35°6'	1.82	2.03	48.2

第 2 圖  
地盤圖第 14 號  
深度 50 尺

第 3 圖 本屋基礎概略圖



してゐる。又眞比重は普通砂の有する値とはや同じであるが、見掛けの比重の大なることは、原地盤に水を多量に含んである爲である。これは地下水位が非常に高く、表土を取除けば水は湧出する。故に本層基礎の預定深さ 5.0 m では水で飽和されてゐる。又粒子が大粒なる爲に地盤に荷重が加へれば直接砂の組織で支持して、毛細管圧などは考慮する必要はない。故にこれを総合すると駅附近の地盤は非常に良好な地盤と云ふことが出来る。唯だ加はつた荷重の爲に地下水位が如何に變化するかや問題である。耐荷試験は表土を除き、表面より約 1.8 m の所で行はれた。

## (2) 荷重機構

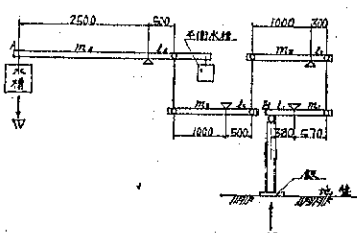
荷重を地盤に加へる爲に成可く労力が少くて大なる荷重を得やうとするために第 4 圖の如く挺子を組合せた。理想的な荷重機構の具備すべき條件は

- (1) 機構が簡単であること。
- (2) 最少の労力で、最大の壓力を地盤に與へること。
- (3) 加へた荷重が地盤に垂直に集中的に加はること。
- (4) 加へた荷重以外の不明瞭な外力が、地盤に加はらぬ様な構造なること。

以上の諸條件について本試験機構を見るに、水槽 A に加へられた荷重が地盤に約 50 倍になつて加はる。實際加へた荷重は、構造が複雑なる爲に、A に加へた荷重は各部のビン等の摩擦の爲に飯に對して約半分となつて現はれる。

一方飯上にジャッキを置きて、これを働かせる時には、飯の受ける荷重は A に於て平衡する荷重の 50 倍以上になつて現はれる。斯様にして構造の複雑なるに拘らず、加壓操作を簡単にし得る利益がある。又各桁自身の自重は平衡水槽によつて打消され、地盤には單に飯、ジャッキ、角柱のみの自重を受ける。これが約 240 kg で、最初の荷重として地盤に加はる 4 つの桁は徑間 40', 長さ 48'-10", 高さ 8'-11", 自重 6t の飯桁に取付けた。

第 4 圖 試験機構概略圖



機構の反力は桁の自重によつて約半分打消されて、地盤の反力の爲の桁の持上りに對する平衡荷重が小さくなる利益がある。

### (3) 試験鉄及び操作

試験鉄には S39 の鋼板を用ひ、圓形と正方形とに別ちて、これの面積を各 4 種類とした。

第 2 表 各種試験鉄の面積及び自重

	面積 (cm <sup>2</sup> )	直 径 (cm)	厚 さ (cm)	自 重 (kg)
圓 形 鉄	5000	79.79	5.0	187.5
	3500	66.70	4.5	118.1
	2000	50.46	4.5	67.5
	900	33.85	4.0	27.0
正 方 形 鉄	5000	70.72	5.0	187.5
	3500	59.17	4.5	118.1
	2000	44.72	4.5	67.5
	900	30.00	4.0	27.0

自重が重すぎる時は取扱及び地盤に加へる最初の状態に對し不便である。又溝すぎると鉄自身が彎曲して、沈下に對して影響を及ぼす事を考慮して上記の第 2 表の如く決定した。

荷重を加へる操作は、第 1 に平衡水槽に定量の水を入れて、地盤に加へる荷重の増加量が cm<sup>2</sup> に付き、0.4 kg 以内にする。これを毎回繰返せば荷重が加はつて行く。

1 回の荷重から次の荷重を加へるまでの時間は、地盤の破壊點を見る爲に 1 分置きにした。鉄を地中に埋めて試験した時には、沈下が全然終了するまで 2 分置きに沈下を測定して、最後の 5 回の目盛が全然變化しないままで行つた。沈下を測定するには dial gauge の 1/100 mm まで精密に読み得るもの用ひ、鉄に就ては 4 個所、周間地盤の變化をみるために、對稱の兩側に 6 個取付けた。其の他鉄を備付ける地盤は正確に水平になる様に水準器で表面を水平にし、その上に鉄を据付けて、鉄自身も水準器で調べて、水平を決めた上で、ジヤッキ、角柱(長さ 189 m, 30 cm 角松材), 鋼球承臺、鋼球の順に立て、桁に取付けた。

### (4) 人員及び費用

試験に必要なる人員は 1 人で 2 個の dial gauge を見るとすると鉄の沈下に對しては 2 人を要する。周間の浮上りを見るためには、その變化が緩慢なる爲に、1 人で 3 個を見得る故に兩側で 4 人、これにジヤッキの目盛及び水を入れる爲に 2 人として、試験を施行するに要する人員合計 8 人である。これは絶対に必要なる人員で、この外に毎日土方人夫 1 人を使ひ、これにポンプ番も兼ねしめた。この内試験を行く主なる人員は 4 人と土方人夫 1 人で他は試験の都度、必要に應じて手傳つた。全工事を通じて、測定員以外に要した人員は第 3 表の通である。

第 3 表

並 人 夫	線 路 工 手	建 築 工 手	薦 人 夫	土 方 人 夫	大 工 職
185 人	20 人	80 人	90 人	105 人	16 人

これを 130 日間に使用した總經費は 3968 圓でこの内訳を示せば

總豫算額 3968 圓 743 圓(再用品)

內 雜

直營工事費	1259 圓	405 圓(再),	請負工事費	1277 圓	—
支給材料費	—	378 圓(再),	建築用具費	1241 圓	—
運送費	250 圓	—			

直營工事費は直接荷重試験を行つた費用で、請負工事費は溝、試験機器、上屋等の費用、建築用具費は、ジャッキ、dial gauge 等の費用である。

### 3. 試 驗 結 果

(1) 沈下曲線式と沈下係数 (Bettungs Ziffer)

鉢の沈下と荷重の関係を一つの実験式で表すには次のように表せる。

$$(1) \quad d = ap^b, \quad (2) \quad d = ap^b + cp^d, \quad (3) \quad p = \frac{d}{a+b^d} \quad \text{或} \quad d = \frac{ap}{1-b^p}$$

ここで  $p$ : 荷重強度,  $A$ : 沈下,  $a, b, c, d$ : 常数

(1) の場合は抛物線形である。これは一般に今迄の実験者によつて、沈下荷重曲線は斯の如き形をなすと提唱されたものであるが、沈下と荷重の関係はこの様な簡単な形を持つものでない。表面載荷の場合にはこの形で表はすることは不可能である。鉢の深さが増加するに従つて荷重の小なる間はこの関係式に大體近づく。沈下と荷重の曲線は土砂の性質より判断して、又荷重の載荷方法、即ち荷重速度の如何に依り、複合抛物線又は漸近線を有する双曲線形でなければならない。即ち餘後沈下が完全に終らぬ前に次の荷重を加ふる時には、(2) の曲線形を相當の間正確に保つであらうが、完全に餘後沈下を終了させて後、載荷する場合には(3) の曲線形を採る。

地盤が大なる荷重により、流動状態を呈し抵抗を失ふものとの假定を認めるならば、大なる荷重に對しては、當然或一定の限界荷重がなければならない。即ちこれ以上荷重を保ち得ない状態である。沈下と荷重の曲線は前記の如く荷重速度による。大荷重、大沈下に對しては曲線の間に荷重の差を減じ、ほぼ一致の傾向を持つと言ふことが知られる。故に沈下の大なる流動状態に對してはすべて一様に(3)の關係式が實驗式として意味あるものと思ふ。

(3) 式は  $p=1/b$  なる漸近線を有するもので、この荷重は砂壩荷重に相當する。今 (3) 式を解いて

$1/a$  は面積と土自身の性質に關せずして變化する常數で、一定の土質では面積にのみ關係する。第 4 表に依つて明らかなる如く面積の大なるに従つて増加する。これを Zimmerman の沙下係數

$p$ : 荷重強度,  $A$ : 底面積,  $a$ : 底面係数

り式に對して比較すれば、沈下の小なる間は (a) 式は (b) 式と一致する。即ち彈性限界内では土に對しても Zimmerman の假定が正しいと言ふべきである。

今  $1/a = c \text{ kg/cm}^2$  として沈下係数とする。第三種沈下係数は

#### D. The model: The Bivariate

の実験の場合にも  $1.65 \sim 5.98 \text{ kg/cm}^2$  を得てゐる。

$(b/a) \times d$  を考へる爲に式を變形して、

$$p + p \left( d \frac{b}{a} \right) = d \frac{1}{a}$$

とすれば  $d=0$  の場合には式は彈性性質に對する沈下を與へ、プラスチックの性質は  $p(d/b/a)$  に關係すると考へらる。即ち彈性沈下を生ぜしむる爲には  $p(d/b/a)$  だけ荷重を多く加へなければならない。これは荷重が周邊の剪断抵抗又は周圍の浮上りの爲のエネルギーに對する荷重である。即ち  $d$  は  $(1-bp)>0$  なるが故に彈性荷重より沈下が小である。或る荷重に對しては、或る一定の深さ  $h$  以上の土は横に押されて、剪應力が内部摩擦力に打勝つ。そこに次の辺り面を生ず。かくて荷重の増加と共に  $h$  は深さを増し、辺り面上の土量は單に沈下に抵抗する荷重となり、 $p$  をそれだけ減少せしめる様に働く故に、彈性體としての沈下より小なる沈下が現はれる。

第 4 表

正方形 鋸	5 000 $\text{cm}^2$	3 500 $\text{cm}^2$	2 000 $\text{cm}^2$	900 $\text{cm}^2$	
$a$	0.234	0.203	0.300	0.344	
$b$	0.165	0.196	0.210	0.227	
$1/a \text{ kg/cm}^2$	4.27	3.82	3.33	2.86	
$b/a \text{ cm}^{-1}$	0.767	0.748	0.700	0.652	殆んど一定
$1/b \text{ kg/cm}^2$	6.06	5.10	4.76	—	
圓形 鋸					
$1/a \text{ kg/cm}^2$	1.68	2.96	3.96	5.98	

## (2) 地盤の4態

沈下と荷重とに就ては或一定の沈下を生ぜしむる爲の、土自身に固有な荷重強度より、實際加へた荷重が大なる場合には、その沈下を生ずる爲の土の抵抗力より大なる荷重を受けてゐる爲に、土柱は自身の状態を保つ爲に土柱以外のもので抵抗して平衡することになる。即ち土柱の支持力が破壊されたことになる。次に或る荷重より次の荷重までの増加荷重量に依つて生じた沈下の増加量より、或る一定の荷重によるその増加荷重に抵抗して、一定の沈下を生ぜしむる爲の荷重量を見るに、これは或物體が既に荷重を受けた状態に於てさらに荷重が増加した場合に幾ら沈下して平衡を保ち得るかを見ることが出来る。これは土が彈性的に荷重に對して抵抗し得る程度を示すことになる。かくて荷重の増加に對するその時の一定量荷重による沈下量が、増加荷重による沈下量より小なる間は、土柱自身内で受けた荷重を消化してしまう。即ち組織的には變化せず、内部抵抗力がこの荷重に抗することになる。この間を土が彈性的性質を有する間と考へる。かく考へる時は沈下の曲線を4つの部分に分かち得る。即ち彈性状態、比例状態、變形状態、流動状態と名付ける。

沈下係数は何に關係するか。この根本的な關係に對する説は非常に區々である。松村氏<sup>1)</sup>に從へば沈下係数と特に定められたものは決定し難く、Zimmerman に從へば  $c = p/d \text{ kg/cm}^2$  として荷重と沈下の關係を表はしてゐる。この  $c$  の値は土の彈性率、ボアソン比及び面積、周長に依るもので、又荷重に依り變化し、その變化の状態

<sup>1)</sup> 松村孫治： “彈性地盤に於ける基礎の沈下に關する理論的研究”，土木學會誌第 17 卷第 9 號（昭 6. 9.）

” “彈性率の深さと共に變化する地盤に於ける基礎の沈下”，土木學會誌第 17 卷第 11 號（昭 6. 11.）

は實驗上所謂長柱の接觸に對する關係と類似するを知り得。『曲線所謂沈下係數曲線は同一地盤で同一型の載荷面を有するものならば、變形狀態附近では同一の傾角を有し、面積の大なる  $\phi$  の値が大である。これは著者の試験で角鉄に對して現はれた結果である。

一般に物體に壓力を加ふる時には  $\phi$  なる角で包まれた不變形部分がある管である。今地盤が彈性限界點に達した場合は鉄を底として、兩底角  $\phi$  なる不變形部分が現はれる。この不變形部分の二等邊三角形ははじめの鉄の中心より生じ、漸次大きさを増し、遂に底長が直徑  $d$  に達するものと考へると、彈性限界を過ぎた地盤内部の流動部分は第 5 圖の如くなる。この狀態に達した後は、二等邊三角形は増大せず、一定の形に於て鉄周囲の土を持上げる。即ち彈性荷重に達した後は、鉄周囲の浮上りは、荷重に拘らず一定の方向を持つ。

### (3) 破壊限界と比例限界

地盤を 4 態に分つ時その間に 3 つの限界點を持たねばならない。一つは前記の彈性限界荷重であり、他の 2 つは破壊限界と比例限界である。構造物の基礎は既に比例、又は變形狀態にある地盤上に造られるものと考へてよい。斯様な地盤に於ては、荷重に抵抗するものは最早壓縮に抵抗せる土柱それ自身のみでなく、その周囲の地盤の抵抗をも考へに入れなくてはならない。

さて、從來破壊限界の決定、又は支持力の決定に對しては、單に模型鉄に對する沈下荷重曲線より推定的に求めてゐた。斯様な方法を用ふることは、全然基礎鉄の大きさ、形等を無視せるもので、又その時起つた沈下が如何程であり、それと同じ沈下を實際基礎が起すと考へるか、全然沈下を考慮せずに居た。實際、構造物が地盤に荷重を傳へると沈下を生ずることは明らかなれど、その沈下が如何なる作用を基礎に及ぼすかが問題になる。故に破壊限界を決定して、その地盤の破壊點を明らかにすることが重要である。破壊點を決定するには、多くの場合一定時間中の荷重の増分に對して、突然沈下が今迄より大きく現はれる點をもつて、沈下・時間曲線よりこれを判断してゐる。これが近時採られてゐる決定方法であるが、この方法も從來の沈下荷重曲線より推定的に求める方法と何等異なる所がない。又許容支持力に對しても、從來の試験結果の解釋に就いて次の 3 つの方法を見出す。<sup>1)</sup>

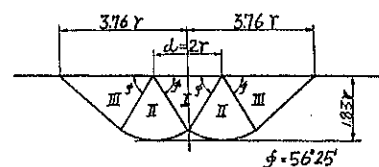
- (1) 許容支持力は破壊限界支持力の半に等し (Terzaghi)。
- (2) 許容支持力は比例限界に等し。(この結果の解釋に對する規定は Vienna に於ける Fisher の考案せる試験方法によつて得たるもの)

(1) と (2) とは破壊限界と比例限界との間に  $1/2$  の關係を認めるならば全然同一の結論である。

- (3) 許容支持力は 1 cm の沈下を生ぜしむるに要する壓力の半に等し。(Kögler 標準示方書)

實驗より得たる沈下・荷重曲線より、その載荷面に對する破壊荷重はどこにあるか。Housel<sup>2)</sup> の如く特性係數なるものを誘導して、この最小値を示す點をもつて支持力限界値を決定してゐる。然し乍らこの方法は粘土地盤に對し、各面積が生ずる關係、即ち面積の小なるもの程支持力が大なりと言ふ地盤に對しては、明瞭にこの最小點を決定し得。即ち特性係數の双曲線性を明確に示し得るものなれど、一度砂の如き粘土と全然性質を異にせるものでは、これを用ふることは困難である。其の他 Terzaghi の砂地盤に對する

第 5 圖



<sup>1)</sup> Terzaghi: Engineering News Record, Aug. 11, 1932.

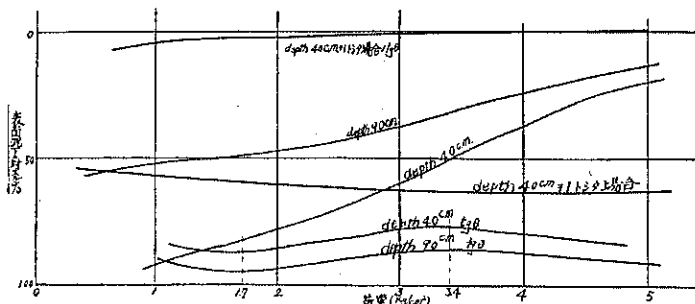
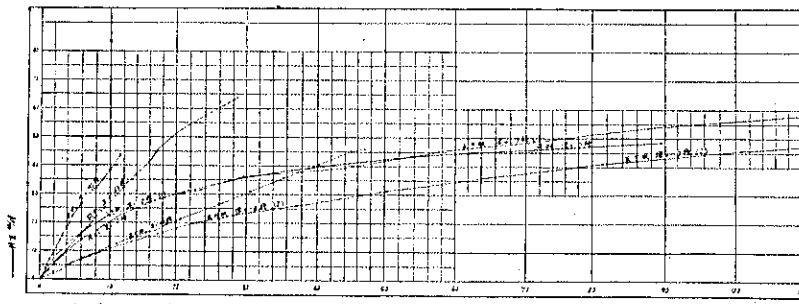
<sup>2)</sup> Housel: A practical method for selection of foundations based on fundamental research in soil mechanics.

$$q_b = \frac{2\gamma r}{\xi_1^2}, \quad \xi_1 = \tan^2 \left[ 45^\circ - \frac{\phi_1}{2} \right] \quad (\text{Terzaghi: Erdbaumechanik, 19})$$

に對して各種實驗結果と對照して見るに、面積の小なるもの、即ち半徑 3 cm 位のもの迄が、面積がそれ以上になるともはやこの公式は全然信頼することが出來ない。ことに著半徑 21.81 cm のものと比較する時、計算値は著しく過大な支持力を有すると云ふ結果をの假定では鉛直下の砂を直徑  $2r$  の圓錐體と假定してこれを誘論の基本に置いてゐる爲で簡単なる破壊限界點及び比例限界點の決定は、直接實驗上の曲線に對するものは、同一鉛行つた。即ち、一表面据付鉄の破壊、比例兩限界點の決定に對して、深さ 40 cm と 90 cm その沈下荷重曲線を畫かしむ。

かくて得たる 3 つの曲線中表面に於けるものの沈下・荷重曲線に於て同一の荷重に對した沈下量を得る。この場合各々の表面沈下に對して、其の他の深さの沈下量の比を取りて、畫けば、一つの曲線を得る。この曲線の最小及び最大値を與へる點が、各々比例及び破壊ある。かくて  $3500 \text{ cm}^2$  鉛に對して正確に兩者を決定すれば、比例及び破壊限界點の間にあることを知り得る。この値を擧ぐれば、各々  $p_b = 8.4 \text{ kg/cm}^2$ ,  $p_p = 1.4 \text{ kg/cm}^2$  である。

第 6 圖 表面沈下量と或深さに於ける沈下量の比較

第 7 圖 深さの變つた場合の沈下曲線  $3500 \text{ cm}^2$ 

## (4) 近似解釋

實際の基礎に對して、實際の荷重を加へることは實際の支持力を決定する爲には理想的場合この様なことは不可能なことが多い。ここに於て小規模の模型試験より推論する理論

<sup>1)</sup> Hugi: Untersuchung über die Druckverteilung.

基礎の荷重試験に對しては、之より精密なる荷重沈下曲線が得られる。然し乍らこれを如何に實用に役立つ様に解釋するかの方法は今迄何等指示されてゐない。充分搗固めた砂で Strohschneider の實驗によれば、面積 0.8, 1.25, 1.78 cm<sup>2</sup> に對して夫々 0.29, 0.42, 0.61 kg/cm<sup>2</sup> の支持力を得、Görner では 200, 100, 50 cm<sup>2</sup> に對して夫々 1.74, 1.34, 0.88 kg/cm<sup>2</sup> 又名古屋では 900, 2 000, 3 500, 5 000 cm<sup>2</sup> に對し粘土交り砂地盤では夫々 3.49, 3.66, 3.89, 4.66 kg/cm<sup>2</sup> を得、Housel の結果では粘土地盤に對して 1, 2, 4, 9 ft<sup>2</sup> の面積に對して 1 時の沈下に對し夫々 15.30, 11.55, 10.15, 7.30 lbs/ft<sup>2</sup> の支持力を有すと言つて居る。又砂地盤では直徑 1 m の圓形基礎では小面積の試験鉢の支持力の數倍の支持力を有すと報じられてゐる。

以上砂及び粘土に對する種々なる實驗より考ふるに、砂地盤では支持力の強度は面積の増大すると共に急に増加するが、プラスチックな粘土の場合には、これと全然反対に面積の小なるもの程支持力が大きい、又砂と粘土の交つた地盤では名古屋の地盤の如く實驗結果は中間的性質を與へる。即ち粘土の % が砂より多い時には、より粘土に近き性質を與へ、反対に砂の % が多い時には砂地盤の現象を現はす。故に實驗の解釋が定まらぬ時には、土の種類ごとに、これを判斷する方法が與へられなければならないことになり、荷重試験からは何等の結論も得られない。

試験によりて得たる結果を解釋する爲に次の近似法を用ふ。

(1) 荷重と沈下との關係は、荷重を直接表面に加へたる時は双曲線式である。

沈下と荷重との關係は一般に今迄は地盤に對しては、直線式又は拋物線式を以て表はされてゐた。然し乍ら實驗の結果、又は實際の沈下の状態より推定するに、これは次の如き双曲線式でなければならない。

$$p = \frac{A}{a + b d}$$

(2) 或る深さに入れられた基礎では沈下と荷重の關係は直線式である。

實際の地盤に基礎を置く場合には、表面にこれを設置すると言ふことは殆んどない。故に 50 cm 以下の基礎鉢に對しては、沈下と荷重の關係は實用の範囲内の荷重では殆んど直線的に變化する。即ち所謂沈下係数 c を決定すればよいことになる。これは荷重試験で實際簡単に決定し得る。

次に實驗結果の根本的な相違の解釋に對して次の判断を與へる。根本的な相違とは、

(1) 粘質地盤、即ち凝集力有る地盤では、載荷面積の小なるもの程沈下が小なり。即ち沈下と面積とは或る關係に於て比例する。

(2) 粒質地盤、即ち凝集力のない地盤では、載荷面積の小なるもの程沈下が大なり。即ち沈下と面積とは或る關係に於て逆比例する。

(3) 粘土質と粒状質の混合せる地盤では (1), (2) の中間的性質を與へる。

以上 3 つの公式に依つて次の實驗結果を考へる。

(1) 圓形鉢の或群のものは、荷重の增加すると共に沈下も增加する傾向がある。沈下曲線は面積の小なるものは大なるものより、荷重の小なる間は沈下も少い。荷重が大になると、これと反対に面積の大なるもの程沈下が少ないのである。

(2) 例へば正方形鉢の面積と沈下との關係は同じ荷重に對しては面積の大なるもの程沈下が少くなる。従つて沈下は荷重の變化に對して一定の値で漸減する。この群では面積が大なるに従つて破壊點が上昇する。

以上 2 つの相反する結果を前の 3 つの公式に依つて判断し、且試験地盤について精密なる検査を試みる時に

はこれは単にその試験地盤の直下の實相のまゝ結果に現はれたに過ぎない。即ち、(1)では地盤の表面近くに粘土の幾組かの薄層を含み、(2)では粒子の比較的大なる砂地盤の状態について試験せる結果である。

#### (5) 正方形鉢の角の影響

圓形鉢が正方形鉢に比して、荷重が小さい間は沈下が多いが、荷重が大になるに従つて圓形鉢は正方形鉢より沈下が減少する。これは著者の試験で共通に認められた現象である。

これは正方形鉢は鉢直下の壓力分布が一様でなく角端が他の部分に比して大きな壓力を支へてゐると思はる。この爲に或る荷重より大になると、この角端が他の部分に比して早く破壊點に達し、その後はこの部分は壓力に抵抗する力を失ふ爲に、圓形に比して同じ壓力に對して、大なる沈下を生ずる結果になる。即ち見掛け上、同じ強度でも正方形鉢は實際上大なる壓力強度を生じてゐる爲である。

同じ沈下を生ぜしむる爲の壓力強度を圓形鉢では  $p_r$ 、正方形鉢では  $p_s$  とすれば、

$$\text{正方形鉢作用面積 } A_s' = \frac{p_s}{p_r} A_s$$

$A_s'$ : 正方形鉢作用面積,  $p_s$ : 正方形鉢荷重強度

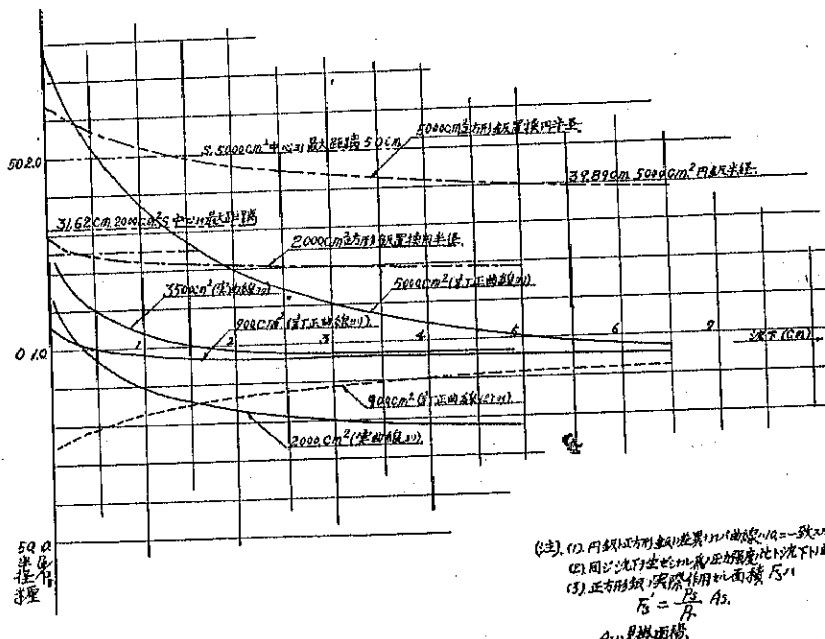
$A_s$ : " 實面積,  $p_r$ : 圓形鉢荷重強度

作用面積は見掛けの面積に比し、面積が大なるほど、荷重が小なる内は大きく、面積が小になるに従つて、作用面積と見掛け面積との差が小さくなり、 $900 \text{ cm}^2$  ではこれが殆んど現はれない。荷重が大になると作用面積が見掛け面積

第 5 表

荷重 $\text{kg/cm}^2$	5 000	3 500	2 000	900
0.2	2.37	1.42	1.21	1.09

第 8 圖



積に比して大になるから、沈下は正方形盤が大になる。又面積の大なるほど、作用面積は大になる。即ち第5表で見る如く見掛け面積の $5000\text{ cm}^2$ では2.3倍、 $900\text{ cm}^2$ では1.09ではほぼ圓形盤の實面積に一致する。

#### (6) 限界荷重沈下曲線

例へば正方形盤に就て得られた關係、即ち面積の大なるもの程同一荷重強度に對し、沈下量が小になると言ふ結果を得るが、面積が大になつても、荷重が加はつてゐる時には、沈下は當然起らなければならぬ。これを求めるることは、實際基礎盤の沈下量を預定するに重要なもので、荷重試験は結局この關係を求める爲に行はれる。今盤の面積、型を一定にすれば、普通の鉄沈下荷重曲線が得られる。

次に荷重を一定にして、各盤に就ての試験結果より各面積に關係を持つ沈下荷重曲線を求めることが出来る。ここに本試験結果について正方形盤の例を示せば、

今  $p/d$  の比を  $c$  と置きて、各盤に就ての沈下荷重曲線を決める時は

$$5000(s) \quad c=4.188-0.800p \quad 2000(s) \quad c=3.542-0.820p$$

$$3500(s) \quad =3.870-0.845p \quad 900(s) \quad =3.151-0.787p$$

上式は 2. (1) の  $A=\frac{ap}{1-bp}$ ,  $a=k$ : 實驗上求められる常数

に實驗的に合致する。

次に  $b=h/u$ ,  $k=a$  と置き、 $n$  を正方形盤の一邊とすれば

$$ck=1-\frac{h}{u}p, \quad h: \text{實驗常数}, \quad u: \text{荷重盤の周長}$$

$h$  は荷重に依る變数で面積に依らぬものと考へると、 $p$  を一定にして各盤について、 $k$  及び  $h$  を求むることを得。

$u$  が大になる時には、 $ck=1$  なる關係となりこれが限界沈下曲線である。

$$\text{或は } A=\frac{kp}{1-\frac{h}{u}p}$$

となる、各盤に就て沈下を求むれば第6表の如くなる。

名古屋織本座基礎の如きものでは限界値を取りて、沈下量を決定することを得、即ち設計荷重 $1.2\text{ kg/cm}^2$ に就ては、沈下量は $0.312\text{ cm}$ であらう。基礎を或部分に分けて考へる時は  $k=0.36$ ,  $h=13.1$  を取つて上式より求めらる。

普通支持力限界値を求めるには各盤に就て

#### (1) 或一定の沈下量の所で得られる

と言ふが沈下量が一定なる時鉄沈下の地盤の狀態が各盤に就て一様に限界點に達してゐると考へられるかは疑はしい。

一方支持力限界値は各盤について一定し沈下が盤に就て變化すると考へると、

#### (2) 或一定の荷重強度の所で得られる

と言ふ結果になる。これは從來教科書等の一つの地盤に就いて一つの支持力を與へてある場合と同一になる。然

第 6 表

面 積 $\text{cm}^2$	沈 下 $\text{cm}$	
	荷 重 $2.0\text{ kg/cm}^2$	荷 重 $1.2\text{ kg/cm}^2$
900	3.87	0.605
2000	2.21	0.402
3500	1.82	0.414
5000	1.67	0.393
限界値	1.18	0.312

第 7 表

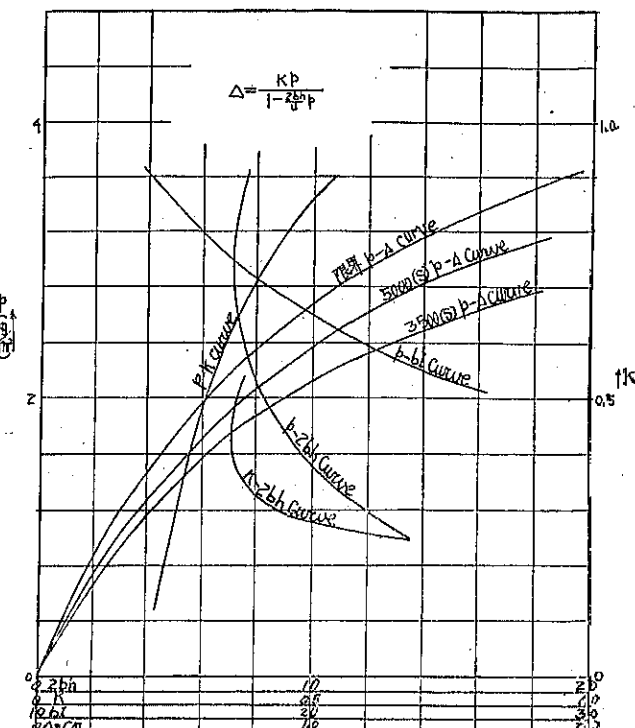
荷 重 $\text{kg/cm}^2$	$k$	$h$
2.0	0.405	7.2
1.2	0.260	13.1

しながらこの兩者の場合に就ては未だ決定的な断定を下すことが出来ない。寧ろ一つの地盤に對しても支持力は面積が變化すれば、沈下量及び荷重強度を異にすると考へるが妥當であらう。

#### (7) 鋼周囲の變化

鋼周囲の變化を見る爲、鋼周に接して 1 箇所、5, 10, 15, 20, 25, 30 cm の各間隔で各々變化を見た。これを ①, ②, ③, ……⑥ とする。① は一般に荷重の最初より沈下を生ず。又 30 cm 離れた ⑥ では最初より上昇の傾向がある。この他のものは一旦沈下して後上昇する。鋼に接する地盤は沈下、又は支持力には影響せず、單に壓縮された土柱上に乗つてゐるから、最初の内は土柱の沈下に伴つて沈下する。これは内部に傳達された壓力を受ける柱が、鋼直下に垂直ならず、或面積に分布して行くことを示す。この部分は壓縮されつつ沈下する故、上部にある土も從つて沈下する。然るに垂直壓力のみならず、水平壓力をも生ずるから、土は横に押され内部應力に依る剪力が土自身の剪力抵抗より小なる間は壓力は A (第 10 圖) の部分で支持するけれども、大になると垂直壓力の内部に傳達されるより、側方に土を押上げることにより加はる壓力に平衡する。かくて ⑥-④-③-② の順序に、即ち遠方にあるものより順次に沈下を停止して上昇の現象を生ず。鋼周囲地盤の變形は正方形鉄では、邊の中央と角端とを比較すると、角端では變化少なく、中央の線では沈下、上昇共に大である。故に地盤表面は第 11 圖の如くなる。圓形鉄ではこの様に複雑でなく、一様に鋼の周囲は沈下及び上昇を起し、次に亀裂圓環帶を生ず、 $4 \text{ kg}/\text{cm}^2$  の荷重の場合圓形鉄の周圍變化を見ると、第 8 表の如くである。

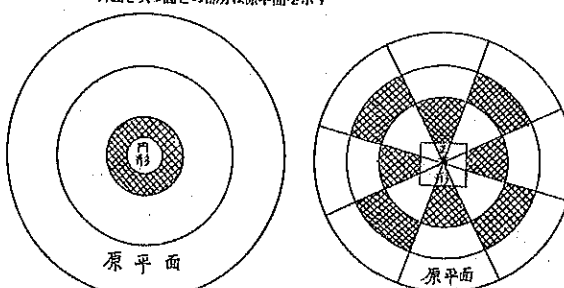
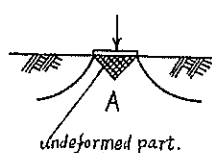
第 9 圖



第 11 圖

右：正方形鋼周囲地盤の相対的變形を示す（斜線は開きを示す）  
左：圓形鉄 “ ” ( " )  
外側と次の圓との部分は原平面を示す

第 10 圖



第 8 表

鉢面積 $\text{cm}^2$	5 000	3 500	2 000	900
鉢沈下 ( $\text{cm}$ )	2.58	4.54	1.89	4.58
最高上昇 ( $\text{cm}$ )	4.65	8.0	2.15	9.3
鉢溝よりの距離 ( $\text{cm}$ )	10.50	17.75	14.5	10.0
浮沈なき點の周辺よりの距離 ( $\text{cm}$ )	5.4	6.7	4.7	3.0

鉢周囲の變化は、著者の実験では 20 cm 以内では荷重を加へると同時に變化を見ることが出来た。①, ②の線は明らかに次の 3 つの部分よりなる。即ち、

(1) 地盤の沈下と共に沈下する曲線。これは支壓力土柱の表面上に單に添つてあるのみで、土柱表面の沈下と共に沈下する。この爲に鉢沈下曲線と同一の性質を有するものと考へらる。

(2) 土塊内に剪應力が生じた時、土塊は鉢下の土柱沈下と同時に、内部水平應力による浮揚力を受ける。この爲に今迄の曲線の方向を轉へるけれども、沈下が大なる爲に依然として基面より沈下する傾向をもつ。

(3) 水平應力による浮揚力が沈下より大なる爲、曲線全體が上昇する方向に傾く。

今迄の理論に従へば剪力滑線は鉢の端より直ちに出て周囲地盤を押上げる方向に働くけれども、(1)の關係を説明せんが爲に、實載荷面積より載荷面積が大なりと考へ、この假定面積端を中心として剪力滑線が出ると考へるとよい。この作用面積端は荷重が大になるに従つて、實面積に近づく。例へば ④ 線の反曲點を求むれば第 9 表の如くなる。

第 9 表

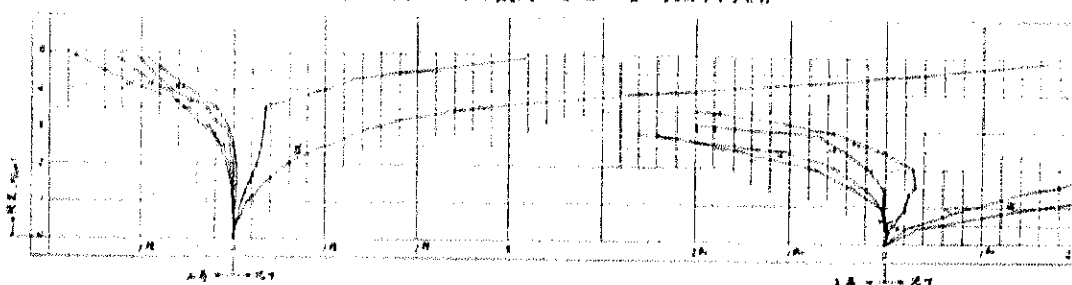
面積 ( $\text{cm}^2$ )	5 000	3 500	2 000	900
荷重 ( $\text{kg}/\text{cm}^2$ )	0.58	0.37	1.55	0.8
沈下 ( $\text{cm}$ )	0.70	0.24	0.58	0.10
最大上昇 ( $\text{cm}$ )	-15.0	38.4	30.2	22.0
圓形鉢半徑 ( $\text{cm}$ )	30.89	33.38	25.23	16.92

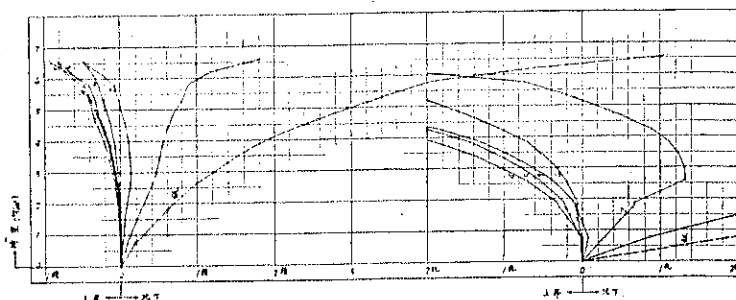
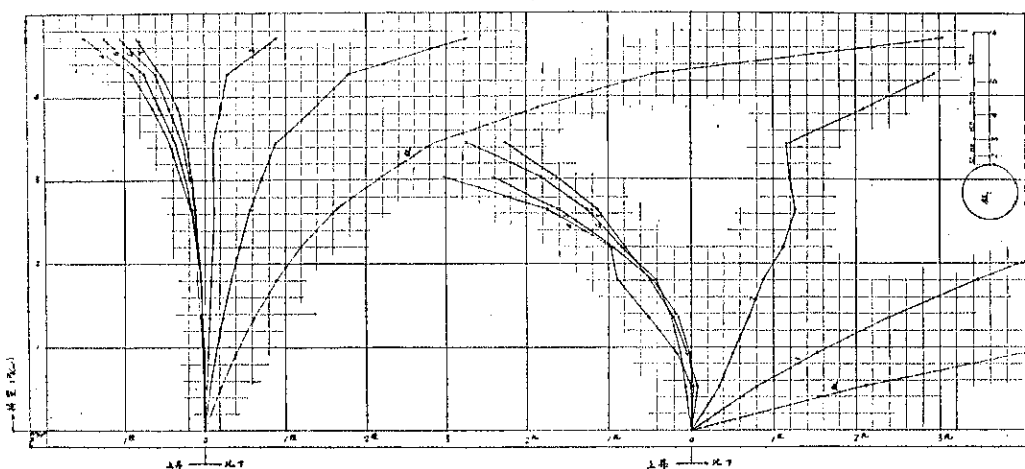
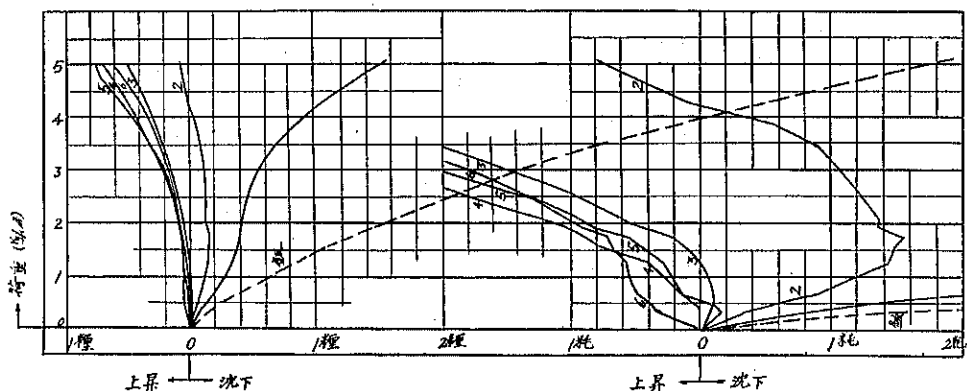
荷重が相當大になると ④, ⑤, … ⑥ の曲線は大體平行になる。これは各位置に於て相互的變化が起らぬことを示す。即ち荷重が大になると、一定の上り面を持ち、その面が變化することなきを示す。常に最高上昇を示す點は鉢の外方又は内方に向つて浮上することなく、上り面の方向に走るものと考へる。この兩側では上は鉢の方向又は鉢の外方に向つて浮出する。

### 第 12 圖 載荷面周囲の地盤變形圖

#### (1) $900 \text{ cm}^2 (\text{R})$

右圖は左圖の一部を擴大せるものなり、以下同じ。



(2)  $2000 \text{ cm}^2 (\text{R})$ (3)  $3500 \text{ cm}^2 (\text{R})$ (4)  $5000 \text{ cm}^2 (\text{R})$ 

又半径の小なるもの程、最高點を示す位置が鉛直に近い。従つて 变形範囲も小となるは當然のことである。一般に荷重による周間影響範囲は地中内に面の深さに關係するもので、变形の範囲については、弛緩せる地盤では、中心より半径の 5 倍、又はプラスチックな地盤では 3 倍と言ふ。又面積の 10 倍等種々あるが、實測の曲線よりこれを求むれば中心より約 3r に等しきことを知る。面積より見れば 9~10 倍である。次に最高上昇點を見れば

第 10 表

面 積 ( $\text{cm}^2$ )	5 000	3 500	2 000	900
飯端よりの影響距離 (cm)	79.80	66.75	50.41	33.81
〃 最高上昇點	0.490 r	0.532 r	0.575 r	0.597 r

平均半徑の 0.55 倍と考へてよい(第 10 表参照)。今中心より半徑の 1.5 倍と考ふれば、丁度影響範囲の半の所にこの面があることを知る。

#### 4. 結 論

本試験に依り得たる結果を擧ぐれば

- (1) 沈下荷重曲線には次の形式を採用することが實驗の解釋によく合致する。

$$p = \frac{A}{a+bA}$$

(2) 表面載荷の場合比例及び破壊限界荷重を決定する簡単なる概略的な方法は一箇所に於て深さを異にして沈下量を比較すれば得られる。

(3) 砂地盤と粘土地盤では沈下荷重試験結果は面積に對し全然相反する結果を得る。中間的な組織を有する地盤は砂質又は粘土質の含有率に應じて中間的な結果を與へる。

(4) 正方形鉢は同一面積の圓形鉢に比し支持力大なり。

(5) 或荷重に對する沈下量を測定する爲には限界沈下荷重曲線を作れば簡単に得られる。

(6) 圓形鉢の荷重による影響範囲は中心より約半径の 3 倍或は面積の 9~10 倍である。

以上本試験により得たる結果に就ての大約を擧ぐることが出来る。然し乍ら最初より書き來つた筆者の考へは、偶然に機會を得て、唯 1 回の耐荷試験に依つて、發展途上にある土質現象の研究に對し一つ一つ獨斷的考察をなしたに過ぎない故に、當を得ない部分が多々あるものと考へ、種々御批判を賜らば無上の光榮である。